

УДК 548.4 : 548.313

© 1993

## ЭНЕРГИЯ ОБРАЗОВАНИЯ ТРУБКИ АНТИФАЗНЫХ ГРАНИЦ В УПОРЯДОЧЕННОМ СПЛАВЕ

*М. Д. Старostenков, С. В. Дмитриев, С. М. Волкова*

В модели твердых сфер получено аналитическое выражение энергии одномерного эффекта сдвигового типа в произвольной сверхструктуре. Методика основана на расслоении сверхструктуры на одномерные моноатомные упаковки, параллельные линии дефекта, и на использовании выражения потенциальной энергии взаимодействия таких упаковок. Полученные результаты могут быть перенесены на анализ магнитного порядка при многочастичном взаимодействии в решеточной модели Изинга.

Проблемы, связанные с перераспределением дальнего порядка в материалах с магнитным (спиновым) или атомным упорядочением, являются актуальными по крайней мере на протяжении последнего пятидесятилетия [<sup>1, 2</sup>], так как с ними непосредственно коррелируют задачи получения систем с определенным набором физических и физико-механических свойств. Изменение порядка, как правило, интерпретируется двумя основными вкладами в свободную энергию кристаллической решетки реального материала — энергетическим (имеется в виду внутренняя энергия системы) и энтропийным, причем если рассматривать состояния с низкими температурами, то достаточно учитывать только их конфигурационную часть [<sup>3</sup>].

Внутреннюю энергию подобных структур принято выражать через параметр  $\omega = \varphi_{AA} + \varphi_{BB} - 2\varphi_{AB}$ , называемый энергией упорядочения ( $\varphi_{rs}$  — энергия связи пары атомов сорта  $r$  и  $s$  или энергия обменного взаимодействия спинов направлений  $r$  и  $s$ ) [<sup>4</sup>]. Задача достаточно просто решается в модели Изинга при ограничении ближайшими, жестко фиксированными связями соседей; попытки включить дальнодействие значительно усложняют проблему [<sup>5</sup>].

Разработанный авторами метод практической кристаллографии, базирующийся на пересчете последовательностей распределения семи правильных многогранников, вершины которых соответствуют заполнениям координационных сфер (для кристаллов кубической симметрии) [<sup>6, 7</sup>], позволяет значительно упростить проблему посредством применения аппарата теории  $\theta$ -рядов и квадратичных форм решеток [<sup>8</sup>].

В [<sup>9, 10</sup>] развитая методика была успешно апробирована при выводе расчетных формул, определяющих дальнодействующие вклады в конфигурационную энергию планарных дефектов, таких как сдвиговая граница в порядке упаковки компонент сверхструктуры, называемой антифазной границей (АФГ) [<sup>11</sup>]. В настоящей работе приводится вывод выражений, определяющих энергию образования в базовой фазе бесконечного параллелепипеда шириной  $d_1$  и высотой  $d_2$  с измененным порядком в заполнении атомами (спинами) узлов основной кристаллической решетки. Для «магнитных» материалов это аналог цилиндрического магнитного домена [<sup>4</sup>], а для упорядоченных сплавов или сверхструктур — трубка антифазных границ [<sup>11</sup>]. Последняя образуется в материалах при несовпадении

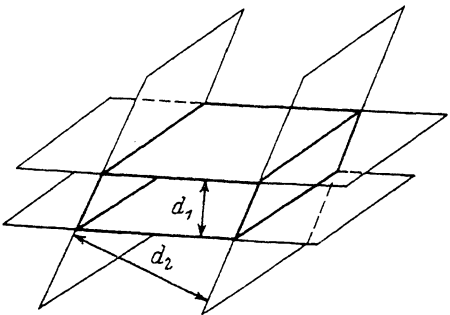


Рис. 1. Трубка антифазных границ.

Рассмотрим две пары параллельных плоскостей, определяемых индексами Миллера  $[h_1 k_1 l_1]$  и  $[h_2 k_2 l_2]$  и удаленных на расстояния  $d_1$  и  $d_2$  соответственно (рис. 1). Эти плоскости вырезают в пространстве бесконечно длинный параллелепипед. Трубка АФГ образуется путем сдвига атомов, лежащих внутри параллелепипеда, на некоторый вектор  $\xi$ , параллельный бесконечному ребру.

Энергию дефекта  $U$  определим разностью

$$U = U_{\text{ик}} - U_{\text{дк}},$$

где  $U_{\text{ик}}$  и  $U_{\text{дк}}$  — энергии идеального и дефектного кристаллов соответственно.

Пусть атомы, принадлежащие параллелепипеду, представляют собой блок 1, а не принадлежащие — блок 2.

Представим энергию в виде

$$U_{\text{ик}} = U_1 + U_2 + U_{1-2},$$

$$U_{\text{дк}} = U_1 + U_2 + U_{1-2}(\xi),$$

где  $U_1$  и  $U_2$  — энергии связи атомов в соответствующих блоках, а  $U_{1-2}$  и  $U_{1-2}(\xi)$  — энергии связи блоков до и после сдвига на вектор  $\xi$ . Тогда

$$U = U_{1-2} - U_{1-2}(\xi), \quad (1)$$

т. е. при вычислении энергии данного дефекта можно не учитывать связи атомов внутри жестких блоков.

Для любой сверхструктуры можно найти примитивную ячейку — область наименьшего объема, трансляцией которой восстанавливается весь кристалл. Пусть векторы  $v_i$  определяют данную область относительно некоторой декартовой системы координат  $XYZ$ . Линейное преобразование с матрицей  $V^{-1}$ , где строками матрицы  $V$  являются  $v_i$ , переводит примитивную ячейку в куб с единичным ребром, другими словами, базис  $v_i$  в ортонормированный базис  $e_i$ . В этом базисе любая сверхструктура  $\Omega$  может быть представлена объединением конечного числа  $I$  моноатомных кубических упаковок вида  $(Z^3 + p_i)_{A_i}$

$$\Omega = \bigcup_{i=1}^I (Z^3 + p_i)_{A_i}, \quad (2)$$

где  $Z^3$  — система узлов вида  $r\mathbf{e}_1 + s\mathbf{e}_2 + t\mathbf{e}_3$ ;  $r, s, t$  — целые числа; нижний индекс  $A_i$  означает, что в узлах  $i$ -й упаковки расположены атомы сорта  $A_i$ ;  $p_i$  —

радиус-вектор любого узла  $i$ -й упаковки. Для определенности в качестве  $\mathbf{p}_i$  будем выбирать векторы с неотрицательными координатами и минимальной длиной.

Удобно разложить рассматриваемую сверхструктуру на одномерные упаковки (атомные прямолинейные цепочки), параллельные вектору сдвига. Эта процедура выполняется путем выбора новой примитивной ячейки, опирающейся на векторы  $\mathbf{u}_i$ , такие, что  $\mathbf{u}_1 \parallel \xi$ ,  $\mathbf{u}_2 \parallel [h_1 k_1 l_1]$ ,  $\mathbf{u}_3 \parallel [h_2 k_2 l_2]$ , при сохранении объема примитивной ячейки. Будем предполагать, что наибольший общий делитель чисел  $h_1, k_1, l_1$  и чисел  $h_2, k_2, l_2$  равен 1 и что плоскости  $[h_1 k_1 l_1]$  и  $[h_2 k_2 l_2]$  непараллельны. При данных предположениях выбор искомой примитивной ячейки всегда возможен.

Для построения базиса  $\mathbf{u}_i$  рассмотрим системы уравнений

$$\begin{bmatrix} h_1 & k_1 & l_1 \\ h_2 & k_2 & l_2 \end{bmatrix} \mathbf{x}_1^T = \begin{bmatrix} 0 \\ 0 \end{bmatrix}, \quad (3)$$

$$[h_1 k_1 l_1] \mathbf{x}_2^T = 0, \quad (4)$$

$$[h_2 k_2 l_2] \mathbf{x}_3^T = 0, \quad (5)$$

которые всегда имеют целочисленные решения, представимые в виде

$$\mathbf{x}_1^T = W_1 r, \quad \mathbf{x}_2^T = W_2 \begin{Bmatrix} t_1 \\ t_2 \end{Bmatrix}, \quad \mathbf{x}_3^T = W_3 \begin{Bmatrix} s_1 \\ s_2 \end{Bmatrix},$$

где  $W_1 - (3 \times 1)$ , а  $W_2, W_3 - (3 \times 2)$  целочисленные матрицы;  $r, t_i, s_i$  — любые целые числа.

Геометрически решение  $\mathbf{x}_1$  представляет собой радиус-векторы точек с целыми координатами, лежащими на линии пересечения плоскостей  $[h_1 k_1 l_1]$ ,  $[h_2 k_2 l_2]$ , проходящих через начало координат, а  $\mathbf{x}_2$  и  $\mathbf{x}_3$  — целочисленные точки, лежащие на самих этих плоскостях.

За начальную точку базиса  $\mathbf{u}_i$  выберем точку  $(0, 0, 0)$ . Тогда в качестве  $\mathbf{u}_1$ , который по условию должен быть параллелен вектору сдвига или линии пересечения плоскостей, возьмем вектор  $\mathbf{x}_1$  при  $r = 1$

$$\mathbf{u}_1 = (W_{11}, W_{12}, W_{13}).$$

В качестве  $\mathbf{u}_2$  возьмем вектор, лежащий в плоскости  $[h_1 k_1 l_1]$  и непараллельный  $\mathbf{u}_1$ . Векторы

$$W_2 \begin{Bmatrix} 1 \\ 0 \end{Bmatrix}, \quad W_2 \begin{Bmatrix} 0 \\ 1 \end{Bmatrix}$$

неколлинеарны, и в качестве  $\mathbf{u}_2$  возьмем тот из них, для которого

$$\mathbf{u}_1 \times \mathbf{u}_2 \neq 0. \quad (6)$$

Третий вектор найдем из условия сохранения объема примитивной ячейки

$$|\mathbf{U}| = 1, \quad (7)$$

где строками матрицы  $\mathbf{U}$  являются векторы  $\mathbf{u}_i$ . Первые две строки уже определены, это компоненты векторов  $\mathbf{u}_1$  и  $\mathbf{u}_2$ , а вместо третьей подставим общее выражение вектора  $\mathbf{x}_3$ , поскольку  $\mathbf{u}_3$  должен быть параллелен  $[h_2 k_2 l_2]$ .

Раскрывая определитель, получим уравнение

$$q_1 s_1 + q_2 s_2 = 1$$

относительно неизвестных  $s_1$  и  $s_2$ . Решая его, определяем  $u_3$  в виде

$$u_3^T = W_3 \begin{Bmatrix} s_1 \\ s_2 \end{Bmatrix}. \quad (8)$$

Матрица  $U^{-1}$  преобразует базис  $u_i$  к ортонормированному базису  $e'_i$ .

Относительно системы координат  $X'Y'Z'$ , определяемой базисом  $e'_i$ , трубка АФГ будет иметь бесконечное ребро, параллельное оси  $OX'$ , плоскость  $[h_1 k_1 l_1]$  переходит в  $X'CY'$ ,  $[h_2 k_2 l_2]$  в  $X'COZ'$ , а примитивная ячейка будет иметь форму куба с единичным ребром.

Обозначим через  $Z$  систему точек оси  $OX'$  с целыми координатами; через  $Z + p$  обозначим точки, полученные путем параллельного переноса точек  $Z$  на вектор  $p$ . Расслоение сверхструктуры  $\Omega$  в системе координат  $X'Y'Z'$  на одномерные упаковки, параллельные оси  $OX'$ , имеет вид

$$\Omega' = \bigcup_{i=1}^l \bigcup_{m,n=-\infty}^{\infty} (Z + p_i U^{-1} + (0, m, n))_{A_i}.$$

Решим вспомогательную задачу определения погонной энергии взаимодействия двух одномерных упаковок  $(Z + p)_A$  и  $(Z + g)_B$ . Для этого нужно просуммировать энергии связи любого атома одной из упаковок со всеми атомами второй. Упаковка  $Z + p$  имеет следующий  $\theta$ -ряд [8]:

$$\theta_{Z+p} = \sum_{m=-\infty}^{\infty} q^{|p+(m, 0, 0)|^2}.$$

Несложно заметить, что коэффициент  $\theta$ -ряда при  $q^f$  равен числу узлов упаковки  $Z + p$ , расположенных на расстоянии  $\sqrt{c}$  от начала координат. Это позволяет записать искомую энергию

$$U((Z + p)_A \leftrightarrow (Z + g)_B) = \sum_{m=-\infty}^{\infty} \varphi_{AB}(|\psi|), \quad (9)$$

где

$$\psi = p - g + (m, 0, 0).$$

Рассмотрим частный случай, когда поперечные размеры трубы в базисе  $e'_i$  определяются целым числом; например, ребро, параллельное  $e'_2$ , пусть имеет длину  $M$ , а ребро, параллельное  $e'_3$ , — длину  $N$ .

Погонная энергия сдвига параллелепипеда на вектор  $\xi' = \xi V^{-1} U^{-1}$  относительно базиса  $e'_i$  может быть найдена, согласно (1), в виде разности энергий одномерных упаковок, входящих в блоки 1 и 2 до и после сдвига. Используя при этом выражение (9), получим

$$U_{e'_i} = \sum \left[ \sum_1 F + \sum_2 F + \sum_3 F + \sum_4 F \right], \quad (10)$$

где обозначено

$$\sum = \sum_{i,j=1}^l \sum_{k,l=-\infty}^{\infty} \sum_{m=1}^M \sum_{n=1}^N, \quad \sum_1 = \sum_{r=-\infty}^{\infty} \sum_{s=-\infty}^0,$$

$$\sum_2 = \sum_{r=-\infty}^0 \sum_{s=1}^N, \quad \sum_3 = \sum_{r=M+1}^{\infty} \sum_{s=1}^N, \quad \sum_4 = \sum_{r=-\infty}^{\infty} \sum_{s=N+1}^{\infty},$$

$$F = \varphi_{A_i A_j}(|\mathbf{x}|) - \varphi_{A_i A_j}(|\mathbf{x} - \xi'|),$$

$$\mathbf{x} = \mathbf{p}_i - \mathbf{p}_j + (k-l, m-r, n-s).$$

Здесь  $l, m, n$  пробегают номера примитивных ячеек, принадлежащих параллелепипеду;  $k, r, s$  — номера ячеек окружающего пространства.

Для перехода к исходному базису  $\mathbf{v}_I$  достаточно векторы, входящие в (10), умножить справа на произведение матриц  $UV$  и весь результат разделить на  $|\mathbf{u}_1 V|$  для приведения энергии к единице длины трубы.

Пример. Рассмотрим образование трубы АФГ с плоскостями залегания [101], [011] в сверхструктуре  $B2$  с параметром решетки  $a$ . При  $|\mathbf{v}_1| = |\mathbf{v}_2| = |\mathbf{v}_3| = a$  имеем

$$V = aE, \quad V^{-1} = (1/a) E,$$

где  $E$  — единичная матрица. С помощью матрицы  $V^{-1}$  отобразим примитивную ячейку в куб с единичным ребром.

Уравнения (3)–(5) принимают вид

$$\begin{bmatrix} 1 & 0 & 1 \\ 0 & 1 & 1 \end{bmatrix} \mathbf{x}_1^T = \begin{cases} 0 \\ 0 \end{cases}, \quad [1 \ 0 \ 1] \mathbf{x}_2^T = 0, \quad [0 \ 1 \ 1] \mathbf{x}_3^T = 0.$$

Их общие решения соответственно

$$\mathbf{x}_1^T = \begin{bmatrix} 1 \\ 1 \\ 1 \end{bmatrix} r = (r, r, -r),$$

$$\mathbf{x}_2^T = \begin{bmatrix} 1 & 0 \\ 0 & 1 \\ -1 & 0 \end{bmatrix} \begin{cases} t_1 \\ t_2 \end{cases} = (t_1, t_2, -t_1),$$

$$\mathbf{x}_3^T = \begin{bmatrix} 0 & 1 \\ 1 & 0 \\ -1 & 0 \end{bmatrix} \begin{cases} s_1 \\ s_2 \end{cases} = (s_2, s_1, -s_1).$$

В качестве  $\mathbf{u}_1$  выберем  $\mathbf{x}_1$  при  $r=1$

$$\mathbf{u}_1 = (1, 1, -1),$$

в качестве  $\mathbf{u}_2$  выберем  $\mathbf{x}_2$  при  $t_1=0, t_2=1$

$$\mathbf{u}_2 = (0, 1, 0),$$

при этом условие (6) выполнено.

Для выбора  $u_3$  используем условие (7), подставляя вместо  $u_3$  вектор  $x_3$

$$\begin{vmatrix} 1 & 1 & -1 \\ 0 & 1 & 0 \\ s_2 & s_1 & -s_1 \end{vmatrix} = 1,$$

откуда

$$-s_1 + s_2 = 1,$$

что выполняется, например, при  $s_1 = 0, s_2 = 1$ .

Таким образом, согласно (8),

$$u_3 = (1, 0, 0)$$

и искомый базис найден.

Матрица преобразования  $u_i$  к  $e'_i$

$$U^{-1} = \begin{bmatrix} 0 & 0 & 1 \\ 0 & 1 & 0 \\ -1 & 1 & 1 \end{bmatrix}.$$

Сверхструктура  $B2$  с объемноцентрированной кубической решеткой с параметром  $a$  в базисе  $e_i$  может быть представлена в виде (2)

$$\Omega = (Z^3 + p_1)_A \cup (Z^3 + p_2)_B,$$

где  $p_1 = (0, 0, 0), p_2 = (1/2, 1/2, 1/2)$ .

Векторы  $p_1, p_2$  в базисе  $e'_i$  имеют вид

$$p'_1 = p_1 U^{-1}, \quad p'_2 = p_2 U^{-1}$$

или после приведения компонент к условию  $0 \leq p'_{ij} < 1$

$$p'_1 = (0, 0, 0), \quad p'_2 = (1/2, 0, 0).$$

На рис. 2 представлена примитивная ячейка в базисе  $e'_i$ . Очевидно, что возможен один вектор сдвига  $\xi' = (1/2, 0, 0)$ , приводящий к смене сортов атомов при сохранении решетки, который в базисе  $v_i$  имеет вид

$$\xi = \xi' UV = a (1/2, 1/2, -1/2).$$

Используя (10), выпишем энергию дефекта в базисе  $e'_i$  через энергию упорядочения, предварительно проведя суммирование по  $i, j$

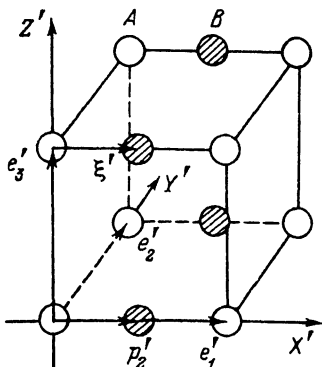


Рис. 2. Примитивная ячейка сверхструктурь  $B2$  в базисе  $e'_i$ .

$$U_{e'_i} = \sum_{k, l = -\infty}^{\infty} \sum_{m=1}^M \sum_{n=1}^N \left[ \sum_1 Q + \sum_2 Q + \sum_3 Q + \sum_4 Q \right], \quad (11)$$

где

$$Q = w(|\eta|) - w(|\delta|),$$

$$\eta = (k - l + \frac{1}{2}, m - r, n - s),$$

$$\delta = (k - l, m - r, n - s).$$

Для перехода к исходному базису векторы  $\eta$  и  $\delta$  в выражении (11) умножим на  $UV$  и определим множитель, нормирующий энергию дефекта к единице длины

$$|\mathbf{u}_1 V| = \sqrt{3} a.$$

Окончательный результат есть

$$U_{v_i} = (\sqrt{3} a)^{-1} \sum_{k, l = -\infty}^{\infty} \sum_{m=1}^M \sum_{n=1}^N \left[ \sum_1 R + \sum_2 R + \sum_3 R + \sum_4 R \right],$$

где

$$R = w(|\eta UV|) - w(|\delta UV|).$$

Таким образом, предлагаемый подход позволяет оценивать энергетику образования достаточно сложных одномерных дефектов произвольной ориентации в любых сверхструктурах.

#### Список литературы

- [1] Киттель Ч. Введение в физику твердого тела. М.: Наука, 1978. 792 с.
- [2] Займан Дж. Принципы теории твердого тела. М.: Мир, 1974. 559 с.
- [3] Жирифалько Л. Статистическая физика твердого тела. М.: Мир, 1975. 382 с.
- [4] Займан Дж. Модели беспорядка. М.: Мир, 1982. 592 с.
- [5] Карери Дж. Порядок и беспорядок в структуре материи. М.: Мир, 1985. 232 с.
- [6] Старостенков М. Д. // Изв. вузов. Физика. 1992. № 7. С. 11–15.
- [7] Старостенков М. Д. // Кристаллография. 1992. № 3. С. 62–66.
- [8] Конвой Дж., Слоэн Н. Упаковки шаров, решетки и группы. М.: Мир, 1990. Т. 1. 415 с.
- [9] Старостенков М. Д., Дмитриев С. В., Голобокова С. И. // Изв. вузов. Физика. 1992. № 5. С. 74–78.
- [10] Старостенков М. Д., Дмитриев С. В. // ФТТ. 1992. Т. 34. № 7. С. 10–15.
- [11] Хирт Дж., Лоте И. Теория дислокаций. М.: Атомиздат, 1972. 599 с.
- [12] Глазер А. М., Молотилов Б. В. Упорядочение и деформация сплавов железа. М.: Металлургия, 1984. 168 с.

Алтайский политехнический институт  
им. И. И. Ползунова  
Барнаул

Поступило в Редакцию  
15 июня 1992 г.